

بیر خاستگاه سازند سیلیسی-آواری پسته‌لیق (پالئوسن زیرین) در پرش چهچمه شمال خاور ایران

امین سعیدی<sup>۱</sup>، اسدالله محبوبی<sup>۲\*</sup>، سیدرضا موسوی حرمی<sup>۳</sup> و محمدحسین محمودی قرائی<sup>۴</sup>

<sup>۱، ۲، ۳ و ۴</sup>- گروه زمین‌شناسی، دانشکده علوم پایه، دانشگاه فردوسی مشهد

\*mabhoubi@um.ac.ir

دریافت: ۹۶/۷/۱۹ پذیرش: ۹۶/۱۰/۱۳

حکیمہ

سازند پسته‌لیق (پالتوسن زیرین) در برش چهچهه از ۹۴/۵ متر ماسه‌سنگ، شیل و واحدهای تبخیری ساخته شده است. شیل‌های این سازند برای تفسیر برخاستگاه مورد بررسی قرار گرفت. این شیل‌ها نسبت به پوسته‌ی قاره‌ای بالایی (UCC) از دید اکسیدهای اصلی  $\text{SiO}_2$ ,  $\text{Al}_2\text{O}_3$ ,  $\text{Na}_2\text{O}$ ,  $\text{P}_2\text{O}_5$  و انصار فرعی  $\text{Sr}$ ,  $\text{Ba}$ ,  $\text{Nb}$ ,  $\text{Ce}$  تهی شدگی و از دید  $\text{U}$  و  $\text{CaO}$  سرشاری را نشان می‌دهند. با رسم نمودار دوتایی  $\text{TiO}_2$  در مقابل  $\text{Al}_2\text{O}_3$  و نمودار دوتایی  $\text{Zr}$  در برابر  $\text{Al}_2\text{O}_3$  سنگ خاستگاه، آذربین حد واسط برای شیل‌های پسته‌لیق پیشنهاد می‌شود. برای شناسایی جایگاه زمینساختی از نمودارهای  $\text{SiO}_2/\text{K}_2\text{O}/\text{Na}_2\text{O}$  در برابر  $\text{Th}/\text{Sc}/\text{Zr}$  و همچنین نمودارهای سه‌تایی  $\text{La}/\text{Th}/\text{Sc}$ ,  $\text{Th}/\text{Co}/\text{Zr}$  این شیل‌ها نشانگر شدت هوزادگی کم تا متوسط و شرایط آب و هوایی خشک تا نیمه‌خشک بوده است. شاخص‌های  $\text{U}/\text{Th}$ ,  $\text{U}/\text{Co}$ ,  $\text{Ni}/\text{Co}$  حاکم بودن شرایط اکسیدی در محیط رسوب‌گذاری را نشان می‌دهند. آغاز پالتوسن در بسیاری از نقاط جهان، همچنین کپه‌داغ با آغاز جنبش‌های زمینساختی و پسروی دریا همراه بوده که در حوضه‌ی کپه‌داغ منجر به تنشی‌نی نهشته‌های سیلیسی آواری پسته‌لیق شده است به گونه‌ای که ستبرای این سازند با پسروی دریا از سمت جنوب خاور به شمال باخترا کاهش پیدا می‌کند.

**واژه‌های کلیدی:** سازند پسته‌لیق، رئوشیمی، سنگ خاستگاه، جایگاه زمین‌ساختی، هوازدگی

(سمنیانیا و همکاران، ۲۰۱۴؛ تائو و همکاران، ۲۰۱۶)

سرباز و همکاران، ۱۳۹۶). از رفتار ژئوشیمیابی عناصر فرعی حساس به اکسایش-احیا نیز برای پی بردن به شرایط محیطی حاکم بر حوضه بهره‌گیری می‌شود (آلئینو و مینارد، ۲۰۰۴). شیل‌ها از واحدهای سنگی هستند که نزدیک‌ترین ارتباط را با ناحیه خاستگاه نشان می‌دهند و پژوهش‌های ژئوشیمی آن‌ها به دلیل هموژن بودن و ناتراوا بودن، نسبت به ماسه‌سنگ‌ها نتایج بهتری دارد (خانه‌پاد همکاران، ۱۱؛ زند مقدم، ۲۰۱۳). هدف این پژوهش به کارگیری عناصر اصلی و فرعی شیل‌های سازند پسته‌لیق در برش چهچهه برای تفسیر سنگ خاستگاه، جایگاه زمین‌ساختی، هوازدگی و شرایط اکسایش دیرینه است که می‌تواند به بازسازی جغرافیای دیرینه پالئوسن زیرین در ناحیه شمال خاور ایران و منطقه مورد بررسی کمک نماید.

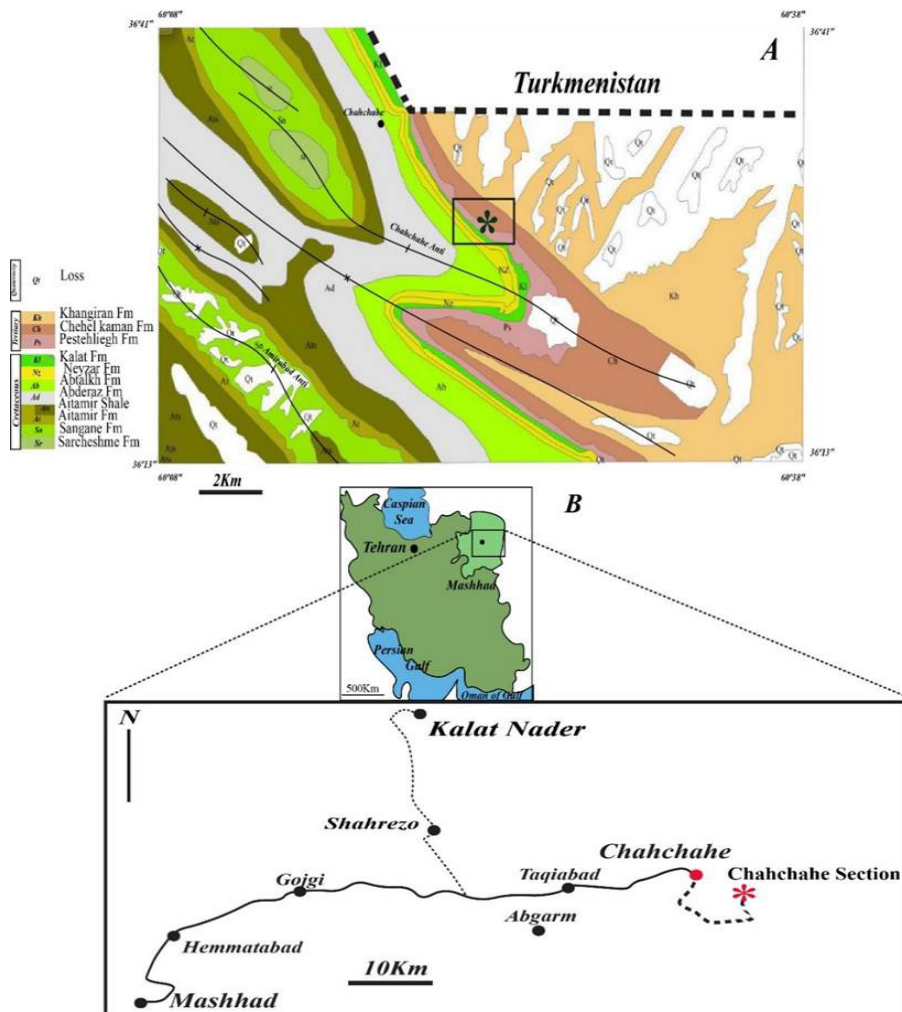
زمین‌شناسی

از لحاظ زمین‌ساختی، کمریند چین‌خورد و که‌داغ مشخص کننده‌ی بخش شمال کوه‌زایی آلب‌هیمالیا و

هدف از بررسی‌های برخاستگاه، بازسازی و تفسیر تاریخچه‌ی رسوبات از فرسایش ابتدایی سنگ خاستگاه تا تدفین نهایی آواری‌ها می‌باشد. پژوهش‌های گوناگونی در این راستا انجام گرفته است. مرتضوی و همکاران (۲۰۱۳) برخاستگاه ماسه‌سنگ‌های سازند شوریجه و خانه‌باد و همکاران (۲۰۱۱) شیل‌های سازند سردر را مورد بررسی قرار دادند. افزون بر آن، تائو و همکاران (۲۰۱۶) و ثوقی مرادی (۲۰۱۶) به ترتیب برخاستگاه شیل‌های نفتی شیجانکو (جنوب چین) و سازند هانسیل (مرکز ترکیه) را بررسی نمودند. ترکیب کانی‌شناسی و شیمیایی سنگ‌های رسوبی آواری نشانگر ترکیب سنگ و جایگاه زمینساختی ناحیه خاستگاه و پارامترهای محیطی شامل نوع و مدت زمان هوازدگی، سازوکار تراپری، محیط رسوبی و هم‌چنین فرآیندهای پس از رسوب‌گذاری است (زو و همکاران، ۲۰۱۵؛ مینگ و همکاران، ۲۰۱۶). پارامترهای ژئوشیمی مانند عناصر اصلی و فرعی و نسبت‌های آن‌ها به طور وسیع برای تفسیر برخاستگاه و جایگاه زمینساختی سنگ‌های سیلیسی، آواری مورد بهره‌برداری قرار می‌گیرند.

برخوردی نوزیستی در کرانه جنوبی آسیا، این توالی‌ها دچار بالاًمدگی شده‌اند. در آغاز ترشیاری جنبش زمین‌ساختی هم‌ارز لازامین در این حوضه سبب پسروی دریا از جنوب به شمال شد، به گونه‌ای که توالی‌های آغازین ترشیاری از نوع قاره‌ای بوده (پسته‌لیق) و در یک محیط رودخانه‌ای نهشته شدند (موسوی‌حرمی، ۱۹۹۳). برش مورد بررسی در ۱۰ کیلومتری روستای چهچهه و در ۱۱۰ کیلومتری شمال خاور مشهد در طول خاوری  $60^{\circ}$  و عرض شمالی  $36^{\circ} 35' 47''$  واقع شده که بخشی از محدوده نقشه زمین‌شناسی  $1/۲۵۰۰۰۰$  سرخس (افشار حرب، ۱۹۸۲) را در بر می‌گیرد (شکل ۱).

نشان‌دهنده مرز میان ایران و ترکمنستان است (رابرت و همکاران، ۲۰۱۴). کپه‌داغ به عنوان یک حوضه‌ی درون قاره‌ای با یک روند شمال‌باخته‌ی-جنوب‌خاوری است که بین دو پلاتفرم پایدار ایران مرکزی و توران (ترکمنستان) قرار گرفته است. این حوضه پس از برخورد شمال‌خاور ایران با صفحه‌ی توران در مژوزوئیک پیشین و سپس بر اثر ریفتینگ ایجاد شده است. حرکات صفحه‌ی ایران به سمت توران نقش پایه‌ی در چین‌خوردگی سازنده‌های دوران‌های میانه‌زیستی و نوزیستی این منطقه داشته است (رمضانی و همکاران، ۲۰۰۸). حوضه کپه‌داغ دارای بیش‌تر از ۷ کیلومتر رسوب پس از تریاس در خاور حوضه است (موسوی‌حرمی و برزن، ۱۹۹۲). در طول رخداد



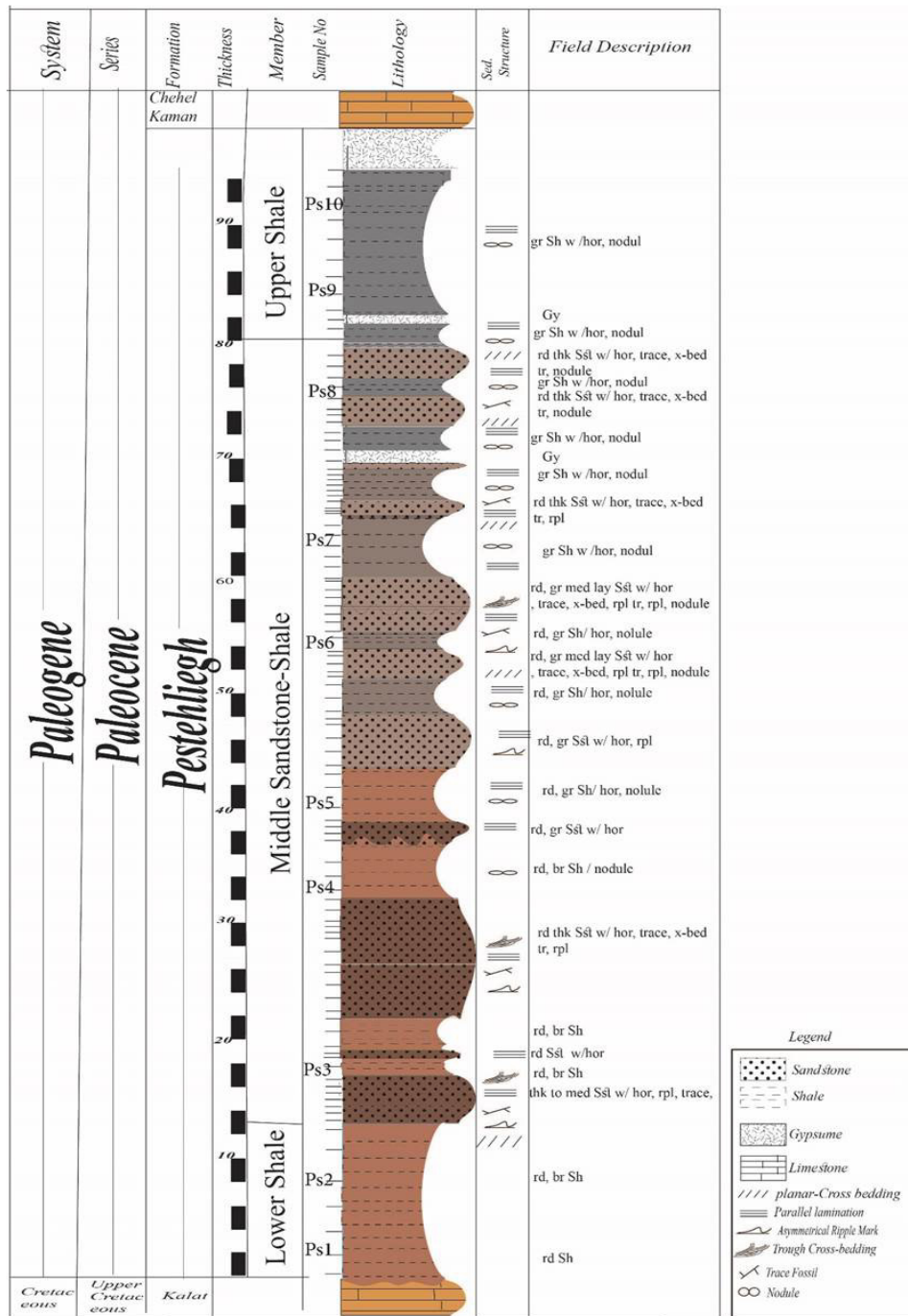
شکل ۱. (A) بخشی از نقشه  $1/۲۵۰۰۰۰$  سرخس که برش مورد بررسی (ستاره) در آن نشان داده شده است. (B) راه‌های دسترسی به منطقه

لایه‌های ماسه‌سنگی نازک لایه نیز در این بخش دیده می‌شود. بخش میانی و بالایی برش از تناب شیل و ماسه‌سنگ دارای نودول تبخیری (ژیپس) ساخته

در برش چهچهه این سازنده از  $۹۴/۵$  متر ماسه‌سنگ، شیل و واحدهای تبخیری ساخته شده است. بخش زیرین برش بیشتر از شیلهای سرخ رنگ ژیپس‌دار ساخته شده ولی

گرفته هیچ فسیلی از این سازند گزارش نشده است (افشارحرب، ۱۳۷۳) ولی با توجه به اینکه سازند پسته‌لیق بر روی سازند کلات به سن مایستریشتین پسین و در زیر سازند چهل‌کمان به سن تانین تا ایپرزاين قرار گرفته است. سن این سازند تنها بر پایه جایگاه چینه‌شناسی تانین است (محبوبی و همکاران، ۲۰۰۱).

شده است ولی در بخش بالایی واحدهای تبخیری دارای گسترش بسیاری هستند (شکل ۲). شیل‌ها در برش مورد بررسی بیشتر از نوع سیلتی و به رنگ سرخ هستند، اغلب این شیل‌ها دارای لامیناسیون‌های مسطح می‌باشند. ماسه‌سنگ‌های بخش زیرین و میانی دارای آثار فسیلی هستند (سعیدی و همکاران، ۱۳۹۵). بر پایه بررسی انجام



شکل ۲. ستون چینه سنگی سازند پسته لیق در برش چهچهه

هوازدگی شیمیایی<sup>۱</sup> (CIA) (معادله ۱) مقدار اندیس هوازدگی شیمیایی از ۶۷ تا ۷۵ با میانگین ۷۰ است. اندیس تنوع ترکیبی<sup>۲</sup> (ICV) (معادله ۲) در شیل‌های موردن بررسی ۱/۸ تا ۳/۵ با میانگین ۲/۱ بوده در جدول ۳ نشان داده شده است.

$$(1) \text{ CIA} = \frac{\text{Al}_2\text{O}_3}{(\text{Al}_2\text{O}_3 + \text{Na}_2\text{O} + \text{CaO} + \text{K}_2\text{O})} * 100$$

$$(2) \text{ ICV} = \frac{\text{Fe}_2\text{O}_{3(T)} + \text{K}_2\text{O} + \text{Na}_2\text{O} + \text{CaO} + \text{MgO} + \text{MnO} + \text{TiO}_2 / \text{Al}_2\text{O}_3}$$

### بحث

ترکیب اکسیدهای اصلی و عناصر فرعی نسبت به پوسته قاره‌ای بالایی<sup>۳</sup> (UCC) بهنجار شده‌اند (تیلور و مک‌لنون، ۱۹۸۵) (شکل ۳). بر پایه این نسخه، شیل‌های سازند  $\text{Na}_2\text{O}$ ,  $\text{P}_2\text{O}_5$ ,  $\text{Ba}$ ,  $\text{Na}_2\text{O}$ ,  $\text{P}_2\text{O}_5$ ,  $\text{Ba}$ ,  $\text{Co}$ ,  $\text{Ni}$ ,  $\text{K}_2\text{O}$  و  $\text{Nb}$  و  $\text{Ce}$  تهی‌شدگی و در عناصر  $\text{Th}$  غنی‌شدگی نشان می‌دهند. با توجه به شکل ۳ تهی‌شدگی  $\text{CaO}$  از عناصر  $\text{TiO}_2$ ,  $\text{Fe}_2\text{O}_3$ ,  $\text{Al}_2\text{O}_3$ ,  $\text{SiO}_2$  شدگی ناشی از هوازدگی کم و همچنین تراپری دوباره کم رسوبات است (das و همکاران، ۲۰۰۶) تهی‌شدگی  $\text{SiO}_2$  نشان دهنده‌ی رسیدگی کم شیل‌های پسته‌لیق است. تهی‌شدگی بالا  $\text{Na}_2\text{O}$  به دلیل پایداری کم در فرایندهای تراپری بوده که سبب از بین رفتان آن‌ها شده است (وانگ و همکاران، ۲۰۱۴). میانگین  $\text{CaO}$  نمونه‌ها ( $1/4$ ) تقریباً ۳ برابر مقدار  $\text{CaO}$  پوسته قاره‌ای بالایی ( $4/19$ ) است که نشان از سیمان کربناته در نمونه‌های است به نحوی که باعث کاهش مقادیر  $\text{SiO}_2$  و  $\text{Al}_2\text{O}_3$  در نمونه‌ها شده است. پایداری  $\text{Al}_2\text{O}_3$  در طول هوازدگی و دیاژنز بالا است، بنابراین می‌توان از آن به عنوان عاملی برای مقایسه با دیگر عناصر اصلی بهره‌گیری کرد. در شکل ۴ همبستگی میان  $\text{Al}_2\text{O}_3$  با دیگر اکسیدهای اصلی نشان داده شده است.  $\text{Al}_2\text{O}_3$ ,  $\text{K}_2\text{O}$ ,  $\text{Fe}_2\text{O}_3$ ,  $\text{TiO}_2$ ,  $\text{Cr}_2\text{O}_3$ ,  $\text{SiO}_2$  است.  $\text{Al}_2\text{O}_3$  همبستگی مثبت و با  $\text{MnO}$  و با  $\text{K}_2\text{O}$  ( $R^2=0.90$ ) و دیگر اکسیدهای مستقیم با  $\text{Al}_2\text{O}_3$  ( $R^2=0.90$ ) و دیگر اکسیدهای اصلی به دلیل تمرکز زیاد کانی‌های رسی بوده و نشان دهنده فاز سرشار از آلومینیوم مانند کانی رسی ایلیت باشد (شکل ۵) (لى، ۲۰۰۰؛ خانه‌باد و کاران، ۲۰۱۲؛ رضایی و همکاران، ۱۳۹۵). باید توجه داشت به دلیل بالا

### روش بررسی

در این پژوهش یک برش سطحی به سمترا ۹۴/۵ متر اندازه‌گیری و بر پایه تغییرات سنگ‌شناسی ۴۰ نمونه ماسه‌سنگی، ۲۴ نمونه شیلی و ۸ نمونه تبخیری برداشت شد. برای شناسایی کانی‌شناسی رس‌های شیل‌ها از دستگاه XRD بهره‌گیری شد. شمار ۲ نمونه (Bulk) با توجه به کمترین میزان کربنات در آن‌ها انتخاب و پس از پودرشدن در آزمایشگاه رسوب‌شناسی دانشگاه فردوسی مشهد، پس از آن توسط دستگاه 2000N Explorer Tcu آزمایشگاه مرکزی دانشگاه فردوسی واکاوی شد. برای بررسی و واکاوی نمونه‌های شیلی، ۱۰ نمونه برای شناسایی مقدار اکسیدهای اصلی و فرعی به روش طیف‌سنجی جرمی با پلاسمای مضاعف القایی (ICP-MS) با بهره‌گیری از دستگاه ELAN 9000 معدنی ACME کانادا واکاوی شدند. شناسایی میزان عناصر اصلی با دقت نسبی ۰/۰۰۲ تا ۰/۰۴ درصد عناصر فرعی (ppm) انجام شد. برای شناخت سنگ خاستگاه و جایگاه زمین‌ساختی از نسبت اکسیدهای اصلی  $\text{Co}$  و  $\text{SiO}_2$ ,  $\text{Na}_2\text{O}$ ,  $\text{K}_2\text{O}$  و  $\text{Al}_2\text{O}_3$  عناصر فرعی ( $\text{La}$ ,  $\text{Zr}$ ,  $\text{Th}$ ,  $\text{Sc}$ ) بهره‌گیری شد. در این پژوهش برای محاسبه اندیس هوازدگی شیمیایی (CIA) و اندیس تنوع ترکیبی (ICV) از روش McLennan بهره‌گیری شد به نحوی که به دلیل مقادیر بالای  $\text{CaO}$ . برای اصلاح مقادیر  $\text{Na}_2\text{O}$  در فرمول  $\text{CaO}^*$   $\text{CaO}^*$  می‌گردد.

### نتایج

نتایج واکاوی شیل‌های پسته‌لیق در جدول‌های ۱ و ۲ ارائه شده است. این شیل‌ها به طور میانگین دارای  $4/3$ ,  $\text{Na}_2\text{O}$  ۰/۷۲,  $\text{Al}_2\text{O}_3$  ۹/۷,  $\text{SiO}_2$  ۲/۴۳ درصد  $\text{TiO}_2$ ,  $\text{MgO}$  ۰/۴۵ درصد  $\text{K}_2\text{O}$  ۰/۶۲۳ درصد  $\text{MnO}$  ۱۱/۴ درصد  $\text{LOI}$  ۰/۹۳۱ درصد  $\text{P}_2\text{O}_5$  ۳/۸ درصد  $\text{Fe}_2\text{O}_3$  هستند و میانگین مقدار نمونه‌های مورد بررسی ۱۶/۹۱ است. مقادیر نسبتی  $\text{SiO}_2/\text{Al}_2\text{O}_3$  (۳) تا ۶ و بطور میانگین  $4/3$  درصد،  $\text{K}_2\text{O}/\text{Al}_2\text{O}_3$  (۰/۲۲) تا ۰/۲۷ و  $\text{K}_2\text{O}/\text{Na}_2\text{O}$  (۲/۱) تا ۶/۷ با میانگین  $3/3$  درصد،  $\text{Al}_2\text{O}_3/\text{TiO}_2$  (۲۰) تا ۲۳، با میانگین ۲۲ درصد)، اندیس

<sup>1</sup> Chemical index of Alteration: CIA

<sup>2</sup> Index of chemical variability: ICV

<sup>3</sup> Upper Continental Crust: UCC

نمونه‌ها را می‌توان به حضور کانی‌های رسی یا واپاشی کانی‌های مافیک سنگ‌های آذرین حد بواسطه نسبت داد (خانه‌باد و همکاران، ۲۰۱۲). همبستگی مثبت میان  $TiO_2$  و  $Al_2O_3$  نشان از همراهی  $TiO_2$  با  $Al_2O_3$  (جدول ۳) فیلوسیلیکات‌هایی مانند ایلیت دارد (دبارد، ۱۹۹۰) (شکل ۵). ارتباط مثبت بسیار قوی میان  $Rb$  و  $Al_2O_3$  ( $R^2=0.93$ ) نشان از همبستگی  $Rb$  با کانی‌های رسی و فلدسپار پتاسیم است (لیو و همکاران، ۲۰۱۳) (شکل ۴).

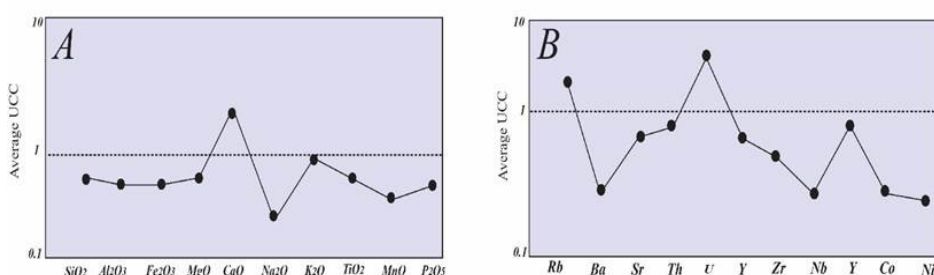
بودن مقدار فلدسپات پتاسیم در نمونه‌های مورد بررسی، می‌توان خاستگاه کانی‌های رسی را نیز فلدسپات پتاسیم دانست. میانگین نسبت  $K_2O/Al_2O_3$  در نمونه‌ها (۰/۲۵) نشان از غلظت زیادتر کانی‌های رسی نسبت به فلدسپات‌ها است (کاکس و همکاران، ۱۹۹۵؛ موسوی‌راد، ۲۰۱۱). با توجه به همبستگی مستقیم  $TiO_2$  با  $Al_2O_3$  ( $R^2=0.93$ ) و همبستگی منفی آن با  $MnO$  با  $Al_2O_3$  ( $R^2=0.93$ ) (جدول ۳)، خاستگاه تیتانیوم موجود در (شکل ۴، A,C) (شکل ۴، A,C) (شکل ۴، A,C) موجود در

جدول ۱. اکسیدهای اصلی (w %) شیل‌های سازند پسته‌لیق در برش چهچهه

Sample/No	$SiO_2$	$Al_2O_3$	$Fe_2O_3$	$MgO$	$CaO$	$Na_2O$	$K_2O$	$TiO_2$	$P_2O_5$	$MnO$	$Cr_2O_3$
Ps1	43.3	14.2	5.7	2.7	13	0.53	3.6	0.6	0.13	0.1	0.013
Ps2	42.3	13.9	5.62	3	13	0.52	3.5	0.6	0.12	0.1	0.013
Ps3	46.4	11.6	4.5	2.3	15	0.91	2.6	0.6	0.1	0.1	0.011
Ps4	50.7	10.1	4.5	3.1	13	0.9	2.5	0.5	0.09	0.1	0.009
Ps5	51.4	11.2	4.33	2.9	11	0.89	2.8	0.5	0.1	0.1	0.01
Ps6	49.1	11	4.16	4.5	11	0.87	2.7	0.5	0.1	0.1	0.01
Ps7	51.1	9.64	3.39	3.6	13	1.09	2.3	0.5	0.09	0.1	0.008
Ps8	40.5	6.68	2.32	10	14	0.63	2	0.3	0.08	0.1	0.007
Ps9	43.1	8.02	3.34	11	11	0.82	1.9	0.4	0.11	0.1	0.007
Ps10	46.7	11.6	4.37	5.2	12	0.76	3.2	0.5	0.11	0	0.011
Mean	42.3	9.74	3.83	4.4	11	0.72	2.4	0.4	0.093	0.1	0.009

جدول ۲. عنصرهای فرعی (ppm) در شیل‌های سازند پسته‌لیق در برش چهچهه

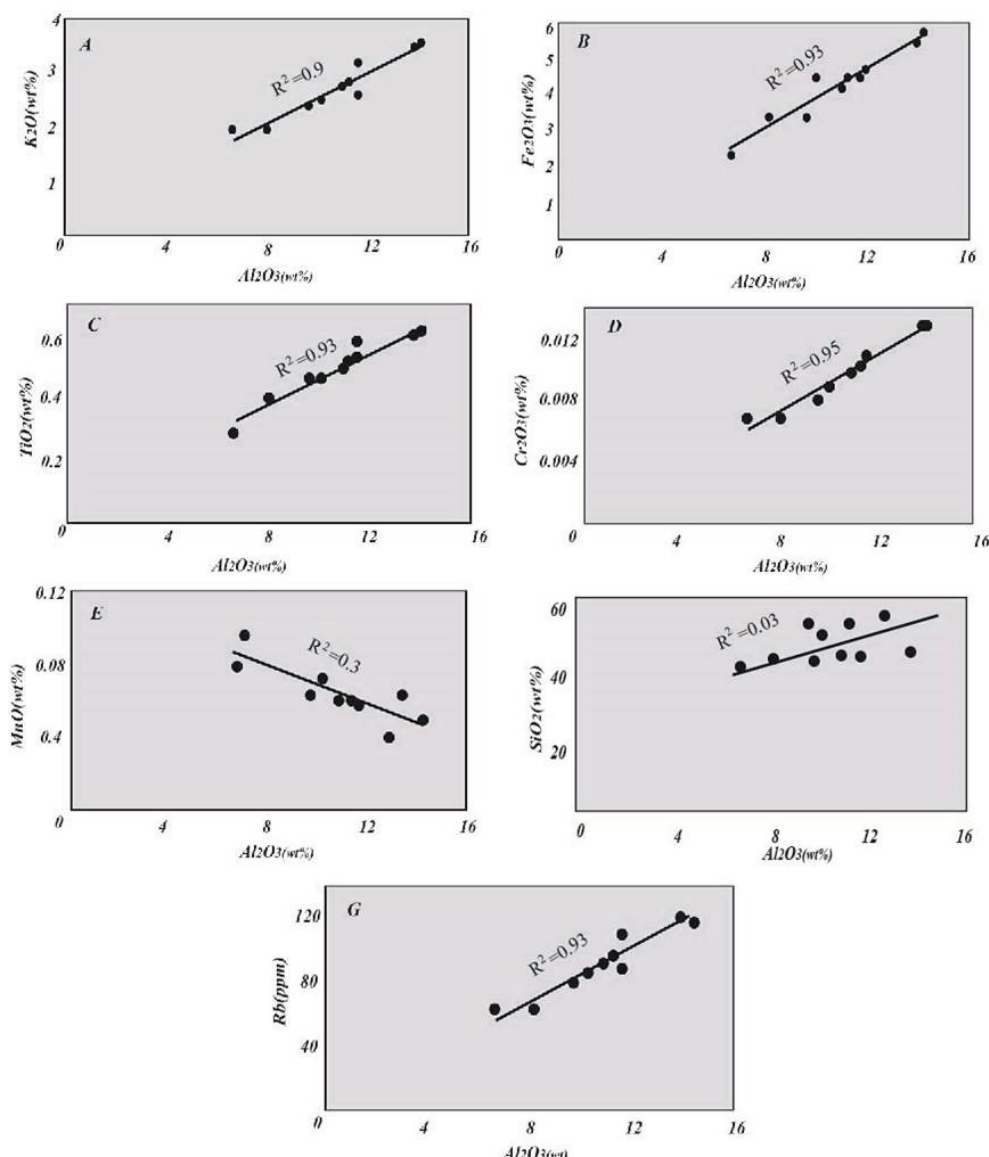
Sample/No	Ba	Ni	Sc	Co	Nb	Rb	Sr	Th	Zr	La	V	Ce	Ga	Dy
1	233	32	14	13	9.2	120	302	9.8	118	25	120	49	15	3.6
Ps2	267	38	14	14	9.6	124	296	9.5	121	25	125	50	15	3.8
Ps3	253	34	11	12	9.9	92	323	7.9	122	22	100	43	12	3.5
Ps4	273	20	9	9.3	7.2	84.3	251	7	163	19	80	39	10	3.1
Ps5	283	24	10	11	7.8	94.1	238	7.7	163	21	89	39	12	3.3
Ps6	270	26	10	10	7.7	91.6	218	7.4	136	20	89	40	12	3.2
Ps7	245	18	8	9	7.7	78.3	259	7.2	193	20	72	38	9	3.2
Ps8	194	18	5	5.3	5	62.3	299	4.6	92.5	14	50	29	6	2.4
Ps9	190	18	7	7.8	6.8	65.2	298	5.8	103	18	59	35	6	2.9
Ps10	220	28	11	10	9.1	110	304	8.1	139	22	97	46	12	3.7
Mean	243	26	9.9	10	8	92.2	279	7.5	135	21	88	41	11	3.3



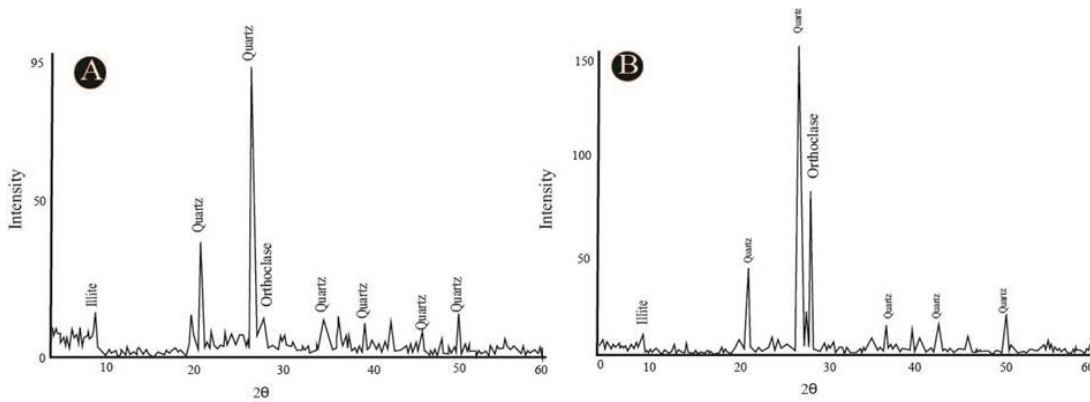
شکل ۳. مقایسه میانگین A-اکسیدهای اصلی B-عناصر فرعی در نمونه‌های شیلی پسته‌لیق در برش چهچهه نسبت به پوسته قاره‌ای (تیلور و مک لنون، ۱۹۸۵)

جدول ۳. نسبت عناصر اصلی شیل‌های سازند پسته‌لیق در برش چچهه

Sample/No	$K_2O/Al_2O_3$	$SiO_2/Al_2O_3$	$K_2O/Na_2O$	$Al_2O_3/TiO_2$	CIA	ICV
ps1	0.25	3	6.7	23	75	1.8
ps2	0.25	3	6.7	23.2	75	1.9
ps3	0.22	4	2.8	20	72	2.1
ps4	0.24	5	2.7	21	70	2.4
ps5	0.25	4.5	3.1	22	70	2
ps6	0.25	4.4	3.1	22	70	2.1
ps7	0.24	5.3	2.1	20	68	2.4
ps8	0.29	6	3.1	23	67	4.3
ps9	0.23	5.3	2.3	20	69	3.5
ps10	0.27	4	4.1	22	71	2.2
Mean	0.24	4.3	3.3	22	70	2.4



شکل ۴. نمودار همبستگی دوتایی عنصرها با یکدیگر و تغییرات عنصر  $Rb$  در شیل‌های سازند پسته‌لیق در برش چچهه



شکل ۵. نتایج واکاوی XRD شیل‌های سازند پسته‌لیق در برش چهچمه A Ps34/3:B Ps2/1:A

هم‌چنین  $TiO_2$  در مقابل  $Zr$  و از سوی دیگر نسبت این عناصر، نشان‌دهنده‌ی سنگ خاستگاه آذرین حدواسط برای شیل‌های پسته‌لیق است (شکل ۶).

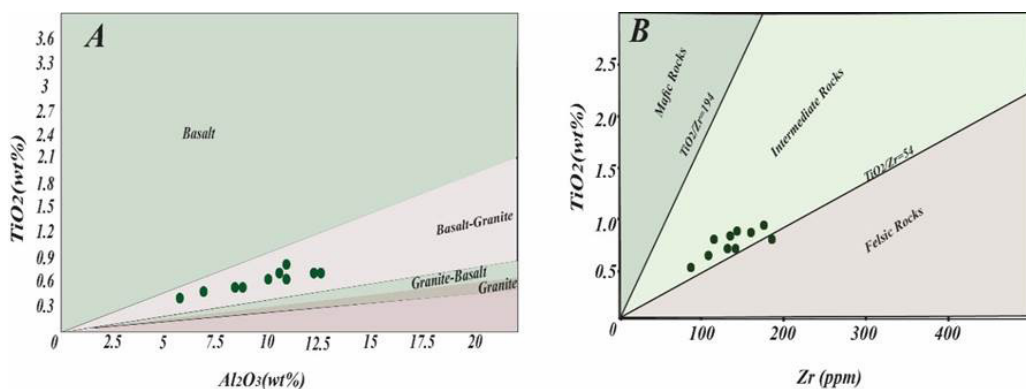
#### جایگاه زمین‌ساختی

به طور کلی جایگاه زمین‌ساختی رسوبات ناحیه خاستگاه عامل کلیدی برای کنترل ترکیب شیمیابی و ویژگی‌های ژئوشیمی سنگ‌های رسوبی است (باتیا و کروک، ۱۹۸۶؛ بی و همکاران، ۲۰۱۵؛ رضابی و همکاران، ۱۳۹۵).

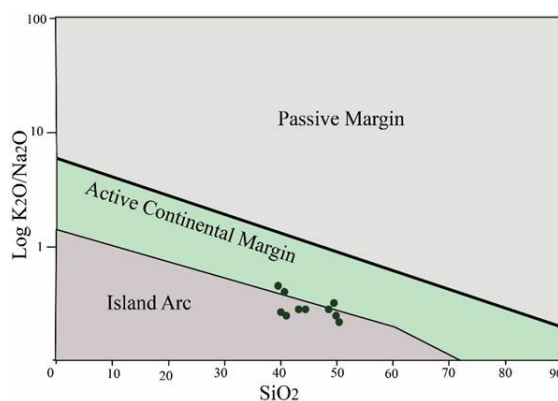
روزز و کورش (۱۹۸۸) تقسیم‌بندی بر پایه مقدار  $SiO_2$  در برابر  $Log K_2O/Na_2O$  را ارائه داد که یکی از شاخص‌ترین نمودارها برای شناسایی جایگاه زمین‌ساختی است که نشان‌دهنده‌ی منطقه‌ی ناپویا، پویای قاره‌ای و جزایر اقیانوسی است. بر پایه این تقسیم‌بندی نمونه‌ها در بخش پویا و حاشیه قاره‌ای قرار می‌گیرند (شکل ۷). برخی از عناصر فرعی ( $Co$ ,  $Th$ ,  $Sc$  و  $Zr$ ) و عناصر نادر خاکی (REEs) مانند  $La$  عناصری بدون جنبش بوده و در طول فرآیند تراپری و تمدنی زیر کنش بسیار کمی قرار می‌گیرند و می‌توان از دقت بالای این عنصرهای شناسایی جایگاه زمین‌ساختی بهره‌گیری کرد (باتیا و کروک، ۱۹۸۶؛ وثوقی مرادی و همکاران، ۲۰۱۵). دیاگرام‌های سه‌تایی  $Th/Sc/Zr/10$  و  $La/Th/Sc$  و  $Th/Co/Zr/10$  جایگاه زمین‌ساختی جزایر کمان قاره‌ای را برای نمونه‌ها نشان می‌دهد (شکل ۸). به طور کلی از بررسی نمودارهایی که برای مطالعه جایگاه زمین‌ساختی شیل‌های پسته‌لیق بهره‌گیری شده است می‌توان به پویا بودن جایگاه زمین‌ساختی پی برد که نمونه‌ها در محدوده‌ی جزایر کمان قاره‌ای و کرانه پویای قاره‌ای قرار می‌گیرند.

#### سنگ خاستگاه

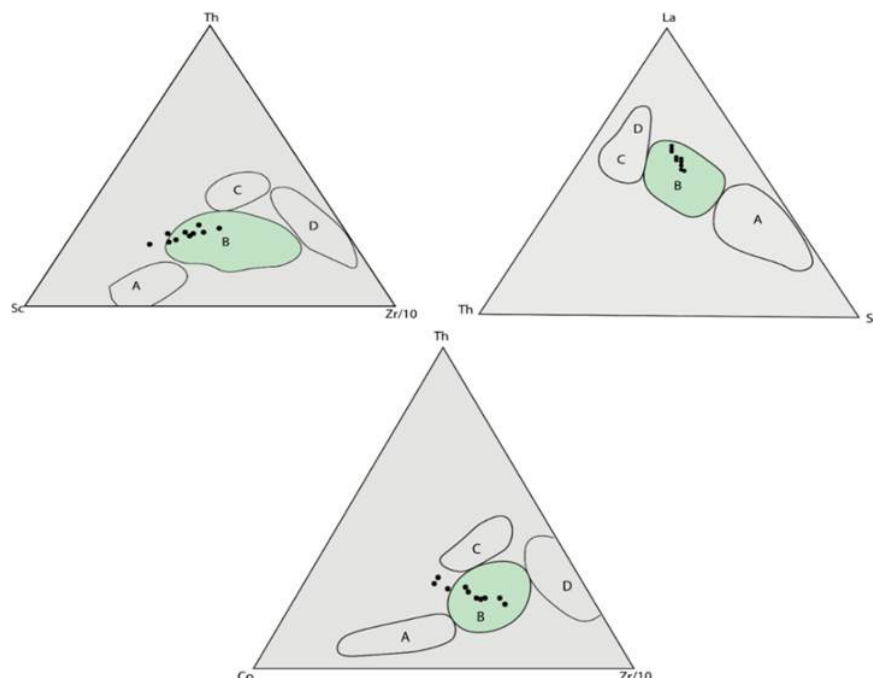
ترکیب کلی رسوبات توسط اختصاصات سنگ‌شناسی ناحیه خاستگاه کنترل می‌شود (جعفرزاده و همکاران، ۲۰۱۴؛ قبادی و همکاران، ۱۳۹۵؛ لیو و همکاران، ۲۰۱۳) در طول هوازدگی سنگ خاستگاه عناصری مانند  $Na$ ,  $Al$ ,  $Ti$ ,  $K$  و  $Ca$  تا حد زیادی  $Mg$  شسته می‌شوند ولی  $Zr$  به دلیل جنبش کم آن‌ها در محلول‌های آبی دمای پایین به عنوان عناصری ایستا شناخته می‌شوند (ایرس و واتسون، ۱۹۹۳) از همین رو نسبت‌های  $Al/Ti/Zr$  در رسوبات تا حد زیادی با نسبت‌های موجود در ناحیه خاستگاه همانند هستند (ژو و همکاران، ۲۰۱۵). برای شناسایی سنگ خاستگاه آغازین سنگ‌های آذرین مافیک، حدواسط و فلزیک از نسبت  $Al_2O_3/TiO_2$  بهره‌گیری می‌شود، این نسبت در سنگ‌های آذرین دارای مقادیر متفاوتی است به گونه‌ای که دامنه‌ی تغییرات این نسبت در سنگ‌های آذرین مافیک ۳ تا ۸ در سنگ‌های حدواسط ۸ تا ۲۱ و در سنگ‌های فلزیک ۲۱ تا ۷۰ است (هایاشی و همکاران، ۱۹۹۸) این نسبت در نمونه‌های مورد بررسی از ۲۰ تا ۲۳ در تغییر بوده که نشانگر سنگ خاستگاه آذرین حدواسط تا فلزیک است (شکل ۶-A). هم‌چنین از نسبت  $TiO_2/Zr$  نیز می‌توان برای شناسایی سنگ خاستگاه در سنگ‌های سیلیسی آواری بهره‌گیری کرد. (هایاشی و همکاران، ۱۹۹۸). مقدار  $TiO_2$  در نمونه‌ها از  $۰/۴$  تا  $۰/۶$  در تغییر بوده در حالی که میزان  $Zr$  بیش‌تر از  $۱۰۰$  پی‌پی‌ام است که با توجه به شکل (۶-B) تمامی نمونه‌ها در محدوده‌ی سنگ آذرین حدواسط قرار می‌گیرند. همیستگی مثبت میان  $TiO_2$  و  $Zr$  در این شیل‌ها نشانگر سنگ خاستگاه حدواسط برای این شیل‌ها است. بررسی  $2$  نمودار  $Al_2O_3$  در برابر  $TiO_2$



شکل ۶. نمودارهای شناسایی سنگ خاستگاه شیل‌های سازند پسته‌لیق -A- نمودار دوتایی  $\text{Al}_2\text{O}_3$  در برابر  $\text{TiO}_2$  -B- نمودار دوتایی  $\text{TiO}_2$  در مقابل  $\text{Zr}(\text{ppm})$  (هایاشی و همکاران، ۱۹۹۷)



شکل ۷. نمودار شناسایی جایگاه زمینساختی شیل‌های سازند پسته‌لیق با بهره‌گیری از دیاگرام‌های  $\text{Log K}_2\text{O}/\text{Na}_2\text{O}$  در مقابل  $\text{SiO}_2$  (روز و کورش، ۱۹۸۸)

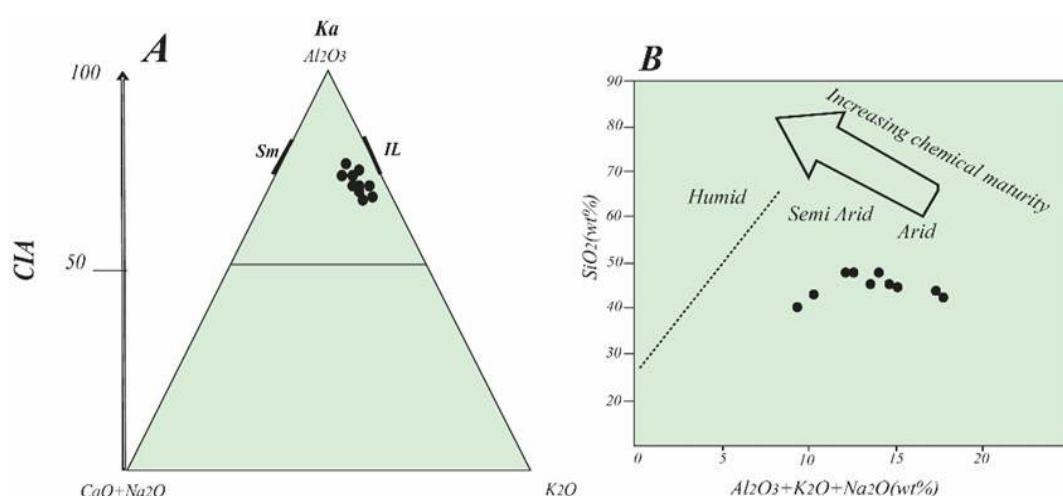


شکل ۸. نمودار شناسایی جایگاه زمینساختی شیل‌های سازند پسته‌لیق با بهره‌گیری از دیاگرام‌های سه گوش  $\text{Co}, \text{Th}, \text{Sc}, \text{Zr}$  و  $\text{La}$  -A=جزایر کمانی اقیانوسی -B=جزایر کمان قاره‌ای -C=حاشیه فعال قاره‌ای -D=حاشیه غیر فعال قاره‌ای (باییا و کروک، ۱۹۸۶)

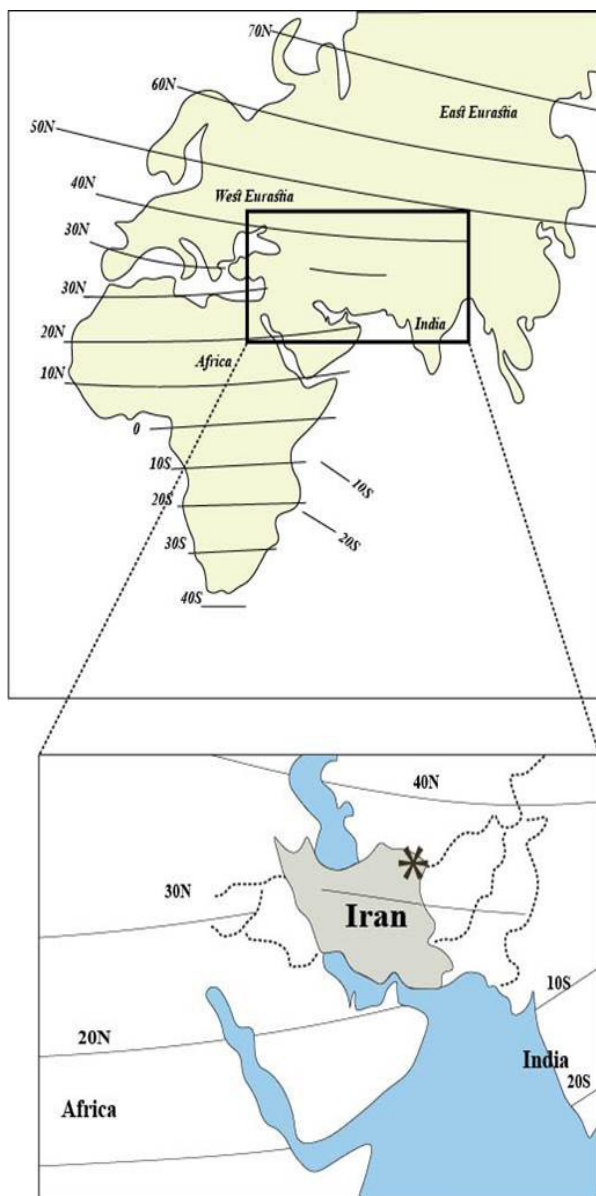
محاسبه می‌شود، بر پایه معادله بالا اگر میزان CaO نمونه‌ها بیشتر از  $\text{Na}_2\text{O}$  باشد مقدار CaO برابر با مقدار  $\text{Na}_2\text{O}$  است، هر چه اندیس CIA از ۵۰ بیشتر و به ۱۰۰ نزدیک‌تر باشند نشان دهنده شدت هوازدگی بالا در ناحیه خاستگاه است. اندیس CIA محاسبه شده برای نمونه‌های مورد بررسی پراکنده بسیاری را نشان نمی‌دهند و دارای میانگین ۷۰٪ است که نشان دهنده شدت هوازدگی ضعیف تا متوسط در ناحیه خاستگاه است (شکل ۹-A). اندیس تنوغ ترکیبی ICV برای شناسایی درجه برسیدگی دانه‌های تراپری شده به حوضه رسوبی بهره‌گیری می‌شود (ICV). مقدار بالای ICV نشان از خاستگاه نارس است در حالی که مقدار پایین نشان دهنده بلوغ بالای سنگ خاستگاه است. در طی فرایند هوازدگی کانی‌های فلدسپاته و اپاشه و به کانی‌های رسی تبدیل شده و باعث کاهش این اندیس می‌شود. مقدار ICV برای نمونه‌های شیلی به طور میانگین ۲/۲ بوده که نشان دهنده رسیدگی از دیاگرام سنگ خاستگاه است. افزون بر این با بهره‌گیری از دیاگرام شرایط آب و هوایی دیرینه در ناحیه خاستگاه بهره‌گیری شد که نشان دهنده شرایط آب و هوایی خشک تا نیمه‌خشک در ناحیه خاستگاه است (شکل ۹-B). بر پایه نقشه‌های جغرافیایی دیرینه، ایران در زمان پالئوسن تقریباً در عرض جغرافیایی ۳۰ درجه شمالی قرار داشته که تایید‌کننده نتایج بالا است (شکل ۱۰).

### هوازدگی سنگ خاستگاه

درجه هوازدگی سنگ مادر نقش بسیار مهمی در شناسایی ترکیب سنگ‌های سیلیسی آواری دارد (وثوقی مرادی، ۲۰۱۶)، فاکتورهای گوناگونی مانند شرایط آب و هوایی و فعالیت‌های زمینساختی (بالازدگی منطقه خاستگاه) در کنترل شدت هوازدگی در ناحیه خاستگاه تاثیرگذار است (وروونکویچ و کوندی، ۱۹۸۹). در طی هوازدگی شیمیایی کاتیون‌های جنباً Na و Ca ناپایدار بوده و به آسانی حذف می‌شوند در صورتی که کاتیون‌هایی مانند Zr و Al و دارای پایداری بیشتری هستند. افزایش درجه هوازدگی شیمیایی می‌تواند نشانه‌ای از کاهش فعالیت زمینساختی یا تغییر شرایط آب و هوا باشد (فدو و نسبیت، ۱۹۹۵؛ جیکوبسن، ۲۰۰۳). شاخص‌های مختلف برای هوازدگی ارائه شده است برای نمونه شاخص هوازدگی شیمیایی (CIW) یا شاخص هوازدگی دگرسانی شیمیایی (CIA) هستند که بیشتر به عنوان شاخص‌های هوازدگی درجه بالا مورد بهره‌گیری قرار می‌گیرند (نسبیت و یانگ، ۱۹۸۲). در CIA محاسبه اندیس هوازدگی موجود در کانی‌های سیلیکاته بهره‌گیری می‌شود. برای محاسبه  $\text{CaO}^*$  نمونه‌هایی مانند نمونه‌های مورد بررسی که دارای سیمان‌کربناته‌ی زیادی هستند از روش McLennan بهره‌گیری شد که بر پایه فرمول  $\text{CaO}_{(\text{corrected})} = \text{mol CaO} - (10/3 \text{ mol P}_2\text{O}_5)$



شکل ۹. A-نمودار سه‌تایی A-CN-K برای شیل‌های سازند پسته‌لیق در برش چهچهه (نسیبت و یانگ، ۱۹۸۲) B: شناسایی شرایط آب و هوایی ناحیه خاستگاه شیل‌های سازند پسته‌لیق در برش چهچهه (دوتا و سوتner، ۱۹۸۶)



شکل ۱۰. نقشه خطوط عرض جغرافیای دیرینه ایران در زمان پالئوسن-آئوسن که بر روی آن نشان داده شده است (هبيش، ۱۹۷۹).

بررسی ۲/۷۰ بوده که به اکسیدی بودن محیط اشاره دارد. نسبت Ni/Co برای محیط‌های احیایی بیشتر از ۵ و برای محیط‌های اکسیدی کمتر از ۵ است، میانگین این نسبت برای نمونه‌های مورد بررسی ۲/۵ بوده که دوباره تایید کننده‌ی شرایط اکسیدی محیط است. عناصر Ba و Sr رفتار ژئوشیمی متفاوتی از خود نشان می‌دهند و می‌توانند از آن‌ها برای پی بردن به تغییرات شوری دیرینه بهره‌گیری نمود (کاو و همکاران، ۲۰۱۵). با افزایش درجه شوری آب، نسبت Sr/Ba در رسوبات افزایش می‌یابد. این نسبت در نمونه‌های مورد بررسی دارای میانگین ۱/۱

#### اکسیداسیون-احیای محیط

شرایط اکسیداسیون-احیا دیرینه در زمان رسوب‌گذاری سنتگ‌های سیلیسی آواری را می‌توان از راه واکاوی شیمیایی ارزیابی نمود (موسوی‌راد و همکاران، ۲۰۱۱). به همین منظور از نسبت عنصرهایی مانند U/Th و Ni/Co برای پی بردن به وضعیت آبهای حوضه می‌توان بهره‌گیری کرد (ویگنال و مایرز، ۱۹۸۸؛ لی، ۲۰۰۹). نسبت U/Th برای محیط‌های احیایی بیشتر از ۱/۲۵ و برای محیط‌های اکسیدی این نسبت به کمتر از ۰/۷۵ می‌رسد. میانگین نسبت U/Th برای نمونه‌های مورد

فرسایشی، گسترش جانی اندک رخساره‌های سنگی، بودن آثار فسیلی وابسته به خشکی و ساختمان‌های رسوبی یک سویه همچون ریپل مارک، لایه‌بندی مورب و نبود فسیل نشان‌دهنده تنشست رسوبات سیلیسی آواری سازند پسته‌لیق در سامنه رودخانه‌ای است (سعیدی و همکاران، ۱۳۹۵). در بخش‌های جنوب‌خاوری، لایه‌های کنگلومرا در سازند نمایان می‌شوند و از جنوب حوضه به سوی شمال از درشتی دانه‌های آواری کاسته می‌شود به گونه‌ای که منطقه‌ی مورد بررسی (شمال‌باخته دشت سرخ) بدون لایه‌های کنگلومرا است (سعیدی و همکاران، ۱۳۹۵). بیشتر پیله‌های کنگلومرا را خردسنج‌های آهکی ساخته‌اند که برگرفته از فرسایش سازندهای آهکی کهنه‌تر است. تغییر ستبرای سازند پسته‌لیق در بخش‌های مختلف کپه‌داغ به دلیل پسروی دریا به سوی شمال باخته در اواخر کرتاسه-پالئوسن بوده به گونه‌ای که ستبرای این سازند در بخش جنوب‌خاور حوضه در برش پادها-پدعلی ۴۲۴ متر و به سوی شمال باخته در برش تنگ چهل کمان ستبرای آن به ۲۲۵ متر کاهش می‌یابد (موسوی‌حرمی، ۱۹۹۳).

در برش چهچهه در شمال‌باخته دشت سرخ سستبرای این سازند به ۹۴/۵ متر کاهش می‌یابد و لایه‌های تبخیری در سازند پدیدار می‌گردند. (سعیدی و همکاران، ۱۳۹۵). این واحدهای تبخیری دارای بافت لامینه‌ای و کانی‌های موجود در آن عمدتاً ژیپس و مقادیر اندکی نیز اندیزیت است که نشان‌دهنده‌ی خاستگاه غیر دریایی و احتمالاً مربوط به محیط پلایا می‌باشد (رمضانی و همکاران، ۱۳۸۷). البته در بخش باخته کپه‌داغ روند کلی این تغییر ستبرای توسط گسل‌های پویا در هنگام رسوب‌گذاری تغییر یافته است (افشار‌حرب، ۱۳۷۳). در زمان‌های کوتاهی در اوایل پالئوسن، مناطق پستی در ناحیه مورد بررسی (شمال‌باخته دشت سرخ) شکل گرفته و منجر به ساخت واحدهای تبخیری شده است (موسوی‌حرمی، ۱۹۹۳). با توجه به واحدهای تبخیری و اندیس هوازدگی شیمیایی (CIA) کم نمونه‌های مورد بررسی می‌توان به حاکم بودن شرایط آب و هوایی خشک و نیمه‌خشک در ناحیه خاستگاه اشاره کرد که با توجه به جایگاه ایران در عرض جغرافیایی ۳۰ درجه شمالی می‌تواند نشنگر شرایط آب و هوایی یادشده باشد (هیبیش، ۱۹۷۹).

است و شیل‌های بالایی بیشترین نسبت را دارا هستند (۱/۶). با توجه به نسبت Sr/Ba شیل‌های بخش زیرین و میانی سازند پسته‌لیق در محیطی با تغییرات شوری تقریباً یکنواخت ساخته شده‌اند ولی شیل‌های بخش بالایی زیر تاثیر تغییرات شوری بیشتری قرار گرفته‌اند. بنابراین می‌توان چنین نتیجه‌گیری کرد که سازند پسته‌لیق در یک محیطی اکسیدان مانند شرایط قاره‌ای و نیز در یک شرایط آب و هوای گرم و خشک ساخته شده است که تاییدی بر مطالعات پیشین انجام شده، مانند موسوی‌حرمی (۱۹۹۳)، می‌باشد.

### جغرافیای دیرینه

بازسازی دقیق‌تر جغرافیای دیرینه در طی پالئوسن زیرین در منطقه‌ی مورد بررسی نیازمند اطلاعاتی از الگوی رسوب‌گذاری، سنگ خاستگاه، جایگاه زمین‌ساختی و شدت هوازدگی در ناحیه خاستگاه است (علمی و همکاران، ۱۳۹۵). آغاز پالئوسن در بسیاری از مناطق جهان مانند کپه‌داغ همراه با آغاز جنبش‌های زمین‌ساختی و تنشست رسوبات قاره‌ای بوده است (لوzon، ۲۰۰۵). بر اثر رخداد زمین‌ساختی لارامین، بلندی‌هایی در بخش جنوب‌خاوری حوضه (آق‌دریند) ساخته شده که سازندهای کهنه‌تر تیرگان، مزدوران را در برابر فرسایش قرار داده، که احتمالاً به دلیل بالآمدگی جنوب منطقه مورد بررسی در محدوده مشهد و حتی در منطقه آق‌دریند است (موسوی‌حرمی و محبوبی، ۱۳۷۸). بر پایه بررسی‌های انجام شده، رسوبات سازند پسته‌لیق از بلندی‌ها شکل گرفته در جنوب‌خاوری فرسایش یافته‌اند که از جنوب خاور به سمت شمال‌باخته از درشتی دانه‌ها کاسته می‌شود (موسوی‌حرمی، ۱۹۹۳).

اندیس هوازدگی شیمیایی (CIA) که نشانگر هوازدگی کم تا متوسط رسوبات در ناحیه خاستگاه است، گویای جایگاه زمین‌ساختی پویا در ناحیه خاستگاه و افرون بر آن نشان دهنده‌ی چرخه‌ی دوباره رسوبی ناچیز باشد. همانگونه که در بخش هوازدگی سنگ خاستگاه اشاره شد مقادیر بالای اندیس تنوع ترکیبی (ICV) که اشاره به بلوغ پایین رسوبات مورد بررسی دارد، می‌توان پیشنهاد کرد که رسوب‌گذاری این سازند در محیط پویا و بالآمدگی سریع ناحیه خاستگاه بوده است. وجود شواهدی مانند چرخه‌های ریزشونده به سمت بالا همراه با قاعده

- سازند داهو (کامبرین پیشین) به روش پتروگرافی و ژئوشیمی عناصر اصلی در برش ابیانه غرب نظر، رسوب‌شناسی کاربردی، شماره ۶، ۴۲-۴۶.
- رمضانی، ش، ذاکریان مقدم، م، موسوی‌حرمی، ر، محمودی‌قرائی، م، محبوبی، الف (۱۳۸۷) مکانیزم تشکیل تبخیری‌های سازند پسته‌لیق در برش چهچل کمان، شرق حوضه کپه‌داغ، شانزدهمین همایش انجمان بلورشناسی و کانی‌شناسی ایران.
- سریاز، ن، محبوبی، الف، موسوی‌حرمی، خانه‌باد، م، ماهانی‌پور، الف (۱۳۹۶) خاستگاه و جایگاه تکتونیکی سازند کشف‌رود در برش ناویا (باختر بجنورد) بر مبنای بررسی‌های پتروگرافی و ژئوشیمی ماسه‌سنگ‌ها، رسوب‌شناسی کاربردی، شماره ۸، ۸۹-۱۰۲.
- سعیدی، الف، محبوبی، الف، موسوی‌حرمی، ر، محمودی‌قرائی، م، ح (۱۳۹۵) چینه‌سنگی و رخساره‌های سنگی سازند پسته‌لیق در برش چهچه شمال شرقی مشهد یازدهمین همایش انجمان دیرینه‌شناسی ایران، طیس.
- قبادی، م، رفیعی، ب، حیدری، م، موسوی، س، اسفندیاری (۱۳۹۳) ژئوشیمی و خاستگاه ماسه‌سنگ‌های آغازاری در استان خوزستان، رسوب‌شناسی کاربردی، شماره ۳، ۴۸-۶.
- علمی، ع، صالحی، م، زهدی، الف (۱۳۹۵) ژئوشیمی ماسه‌سنگ‌های سازند رازک، جنوب خاور حوضه رسوبی زاگرس: کاربرد در تعیین جایگاه زمین‌ساختی، سنگ مادر و هوازدگی دیرینه، علوم‌زمین، ۱۰۳، ۲۸۶-۲۶۵.
- موسوی‌حرمی، ر، محبوبی، ا (۱۳۷۸) تفسیر تاریخچه و جغرافیایی دیرینه پالئوسن در شمال شرق ایران، هجدهمین گردهمایی علوم‌زمین، ۹۸-۱۰۵.
- Algeo, T. J., Maynard, J. B (2004) Trace-element behavior and redox facies in core shales of Upper Pennsylvanian Kansas-type cyclothems. *Chemical Geology*. 206, 289-318.
- Ayers, J. C., Watson, E. B (1993) Rutile solubility and mobility in supercritical aqueous fluids. Contributions to Mineralogy and Petrology, 114: 321-330.
- Bai, Y., Liu, Z., Sun, P., Liu, R., Hu, X., Zhao, H., Xu, Y (2015) Rare earth and major element geochemistry of Eocene fine-grained sediments in oil shale- and coal-bearing layers of the Meihe Basin, northeast China. *Journal of Asian Earth Sciences*, 97 (A): 89-101.
- Bhatia, M. R., Crook, K. A (1986) Trace element characteristics of greywackes and tectonic setting discrimination of sedimentary basins. Contributions to Mineralogy and Petrology, 92: 181-193.

### نتیجه‌گیری

در این پژوهش شیل‌های سازند پسته‌لیق (پالئوسن زیرین) در برش چهچه، شمال خاور مشهد، برای شناخت برخاستگاه مورد واکاوی ژئوشیمی عناصر اصلی و فرعی قرار گرفتند. شیل‌های سازند پسته‌لیق نسبت به UCC، تهی‌شدگی در میزان  $\text{Na}_2\text{O}$  و  $\text{P}_2\text{O}_5$  در  $\text{CaO}$ ,  $\text{Co}$ ,  $\text{Ni}$ ,  $\text{K}_2\text{O}$  را نشان می‌دهند. این پژوهش نشان‌دهنده سنگ خاستگاه آذرین حدواتط برای سازند پسته‌لیق است. بررسی جایگاه زمین‌ساختی نشان از جایگاه کمان قاره‌ای دارد. شرایط آب و هوایی در ناحیه برخاستگاه نشان از هوازدگی نسبتاً کم تا متوسط ( $\text{CIA} = 70\%$ ) و وابسته به شرایط آب و هوایی خشک و نیمه‌خشک در ناحیه خاستگاه دارد که جایگاه ایران در عرض جغرافیایی ۳۰ درجه شمالی تائید کننده نتایج یادشده است. خاستگاه رسوبات سازند پسته‌لیق از سنگ‌های کهن‌تر در بخش جنوب‌خاوری حوضه پیشنهاد می‌شود.

### سپاسگزاری

از دانشگاه فردوسی مشهد برای در اختیار گذاشتن امکانات بازدید میدانی و آزمایشگاهی (طرح پژوهشی با کد ۴۲۱۹۷) سپاسگزاری می‌شود. هم‌چنین از داوران گرامی این مقاله برای طرح دیدگاه‌های ارزنده‌شان، که به بهتر شدن سطح علمی این مقاله کمک نموده‌اند، قدردانی می‌گردد.

### منابع

- افشار‌حرب، ع (۱۳۷۳) زمین‌شناسی کپه‌داغ، طرح تدوین کتب زمین‌شناسی ایران، سازمان زمین‌شناسی و اکتشافات معدنی ایران، ۲۷۵ ص.
- افشار‌حرب، ع (۱۳۶۲) نقشه زمین‌شناسی سرخس با مقیاس ۱/۲۵۰۰۰۰، سازمان زمین‌شناسی و اکتشافات کشور.
- آقانباتی، ع (۱۳۸۵) زمین‌شناسی ایران، سازمان زمین‌شناسی و اکتشافات معدنی کشور، ۵۸۶ ص.
- رضایی، خ، فروغی شاه‌آباد، ش، اسدی، الف (۱۳۹۵) پتروگرافی و ژئوشیمی ماسه‌سنگ‌های سازند سرخ بالایی در برش منطقه حسن‌آباد (جنوب‌غرب تهران)، رسوب‌شناسی کاربردی، شماره ۶، ۴۳-۵۶.
- رضایی، ن، رضایی، خ، فیاضی، ف (۱۳۹۵) تعیین برخاستگاه زمین‌ساختی و هوازدگی سنگ منشا ماسه‌سنگ‌های

- Lee, Y (2009) Geochemistry of shales of the Upper Cretaceous Hayang Group, SE Korea: Implications for provenance and source weathering at an active continental margin: *Sedimentary Geology*, 215: 1–12.
- Liu, B., Wang, W., Su, X., Zheng, H (2013) Elemental geochemistry of northern slope sediments from the South China Sea: Implications for provenance and source area weathering since Early Miocene. *Chemie der Erde*, 73: 61–74.
- Louzon, A (2005) Oligocene-Miocene alluvial sedimentation northern Ebro basin, NE Spain, Tectonic control and paleogeographic evolution. *Sedimentary Geology*, 177: 19–39.
- Mahboubi, A., Moussavi-Harami, R., Lasemi, R., Brenner, L (2001) Sequence stratigraphy and sea level history of the upper Paleocene strata in the Kopet-Dagh basin, northeastern Iran. *AAPG Bulletin*, 85: 839–860.
- McLennan, S. M., Hemming, S., McDaniel, D. K., Hanson, G. N (1993) Geochemical approaches to sedimentation, provenance and tectonics. In: Johnsson, M. J., Basu, A. (Eds.), *Processes Controlling the Composition of Clastic Sediments*, Geological Society of America Special Papers, 285: 21–40.
- Ming, M., Li, Ch., Chengfu, L., Chen, G., Yang, F., Zhang, G (2016) Geochemistry and provenance of a multiple-stage fan in the Upper Miocene to the Pliocene in the Yinggehai and Qiongdongnan basins, offshore South China Sea, *Marine and Petroleum Geology*, 79: 64–79.
- Moosavirad, S., Janardhana, M., Sethumadhav, M., Moghadam, M., Shankara, M (2011) Geochemistry of lower Jurassic shales of the Shemshak Formation, Kerman Province, Central Iran: Provenance, source weathering and tectonic setting. *Chemie der Erde*, 71: 279–288.
- Mortazavi, M., Mussavi-Harami, R., Mahboubi, A (2013) Detrital Mode and Geochemistry of the Shurijeh Formation (Late Jurassic-Early Cretaceous) in the Central and Western Parts of the Intracontinental Kopet-Dagh Basin, NE Iran: Implications for Provenance, Tectonic Setting and Weathering Processes. *Acta Geologica Sinica*, 87: 1058–1080.
- Moussavi-Harami, R (1993) Depositional history and paleogeography of lower Paleocene red bed in eastern Kopet-Dagh basin northeast Iran. *Journal of Science Islamic Republic of Iran*, 4 (2): 126–143.
- Moussavi-Harami, R., Brenner, R. L (1992) Geohistory analysis and petroleum reservoir characteristics of Lower Cretaceous (Neocomian) Sandstones, Eastern Kopet-Dagh Basin, Northeastern Iran, *AAPG Bulletin*, 76: 1200–1208.
- Cao, H., Guo, W., Shan, X., Ma, L., Sun, P (2015) Paleolimnological environments and organic accumulation of the Nenjiang Formation in the southeastern Songliao Basin, China, *Oil Shale*, 32 (1): 5–24.
- Cox, R., Lowe, D.R., Cullers, R. L (1995) The influence of sediment recycling and basement composition of evolution of mudrock chemistry in the southwestern United States. *Geochimica et Cosmochimica Acta*, 59: 2919–2940.
- Dabard, M. P (1990) Lower Brioherian Formations (Upper Proterozoic) of the Armorican Massif (France): Geodynamic evolution of source areas revealed by sandstone petrography and geochemistry. *Sedimentary Geology*, 69: 45–58.
- Das, B. K., AL-Mikhlaifi, A. S., Kaur, P (2006) Geochemistry of Mansar Lake sediments, Jammu, India: Implication for source-area weathering, provenance, and tectonic setting. *Journal of Asian Earth Science*, 26: 649–668.
- Dutta, P. K., Suttner, L. J (1986) Alluvial sandstone composition and paleoclimate, I. Framework mineralogy. *Journal of Sedimentary Petrology*, 56: 329–345.
- Fedo, C. M., Nesbitt, H. W., Young, G. M (1995) Unrevealing the effects of potassium metasomatism in sedimentary rocks and paleosols, with implications for paleoweathering conditions and provenance. *Geology*, 23: 921–924.
- Jacobson, A. D., Blum, J. D., Chamberlain, C. P., Craw, D., Koons, P. O (2003) Climatic and tectonic controls on chemical weathering in the New Zealand Southern Alps. *Geochimica et Cosmochimica Acta*, 37: 29–46.
- Jafarzadeh, M., Moussavi-Harami, R. M., Friis, H., Amini, A., Mahboubi, A. and Lenaz, D (2014) Provenance of the Oligocene–Miocene Zivah Formation, NW Iran, assessed using heavy mineral assemblage and detrital clinopyroxene and detrital apatite analyses. *Journal of African Earth Sciences*, 89: 56–71.
- Habicht, J. K. A (1979) Paleoclimate, Paleomagnetism, and Continental Drift. American Association of Petroleum Geologists, 9: 1–18.
- Hayashi, K. I., Fujisawa, H., Holland, H. D., Ohmoto, H (1997) Geochemistry of ~1.9 Ga sedimentary rocks from northeastern Labrador, Canada. *Geochimica et Cosmochimica Acta*, 61: 4115–4137.
- Khanehbad, M., Moussavi-Harami, R., Mahboubi, A., Nadjafi, A (2012) Geochemistry of Carboniferous Shales of the Sardar Formation, East Central Iran: Implication for Provenance, Paleoclimate and Paleo-oxygenation Conditions at a Passive Continental Margin, *Geochemistry International*, 50: 777–790.

- Wang, L., Liu, Cg., Gao, X., Zhang, H (2014) Provenance and paleogeography of the Late Cretaceous Mengyejing Formation, Simao Basin, southeastern Tibetan Plateau: Whole-rock geochemistry, U-Pb geochronology, and Hf isotopic constraints. *Sedimentary Geology*, 304: 44-58.
- Zand-Moghadam, H., Moussavi-Harami, M., Mahboubi, A., Rahimi, B (2013) Petrography and Geochemistry of the Early-Middle Devonian sandstone of the padeha formation in the North of Kerman, SE Iran, Implication for provenance, *Boletin del Instituto de Fisiografía y Geología*, 83: 1-14.
- Zhou, L., Friis, H., Poulsen, M (2015) Geochemical evaluation of the Late Paleocene and Early Eocene shales in Siri Canyon, Danish-Norwegian Basin, Marine and Petroleum Geology, 61: 111-122.
- Nesbitt, H. W., Young, G. M (1982) Early Proterozoic climates and plate motions inferred from major element chemistry of lutites. *Nature*, 299: 715-717.
- Ramezani O. R., Shahriari, S., Hafezi Moghadas, N., Omidi, P., Eftekharnejad, J (2008) A model for Active tectonics in Kopet (North-East Iran). *World Applied Sciences Journal*, 3: 312-316.
- Rashid, S. A (2002) Chakrata Formation, Lesser Himalaya: implications for crustal evolution and weathering history in the Himalaya, *Journal of Asian Earth Sciences*, 21: 283-293.
- Robert, A. M. M., Letouzey, J., Kavoosi, M. A., Sherkati, S., Muller, C., Vergés, J., Aghababaei, A (2014) Structural evolution of the Kopeh Dagh fold-and-thrust belt (NE Iran) and interactions with the South Caspian Sea Basin and Amu Darya Basin. *Marine Petroleum Geology*, 57: 68-87.
- Roser, B. P., Korsch, R. J (1988) Provenance signatures of sandstone-mudstone suites determined using discriminant function analysis of major-element data, *Journal of Chemical Geology*, 67: 119-139.
- Saminpanya, S., Duangkrayom, J., Jintasakul, P., Hanta, R (2014) Petrography, mineralogy and geochemistry of Cretaceous sediment samples from western Khorat Plateau, Thailand, and considerations on their provenance. *Jurnal Asian Earth Sciences*, 83: 13-34.
- Tao, C., Shan, Y., Tang, D., Li, S., Cui, Y (2016) Mineralogy, major and trace element geochemistry of Shichanggou oil shales, Jimusaer, Southern Junggar Basin. *Journal of Petroleum Science and Engineering*, 146: 432-445.
- Taylor, S. R., McLennan, S. M. (1985) The Continental Crust: its Composition and Evolution. Blackwell, Oxford 312.
- Tole, M. P (1985) The kinetics of dissolution of zircon ( $\text{ZrSiO}_4$ ). *Geochimica et Cosmochimica Acta*, 49: 453-458.
- Vosoughi Moradi, A., Sari, A., Akkaya, P (2016) Geochemistry of the Miocene oil shale (Hançili Formation) in the Çankırı-Çorum Basin, Central Turkey: Implications for Paleoclimate conditions, source-area weathering, provenance and tectonic setting. *Sedimentary Geology*, 341: 289-303.
- Wronkiewicz, D. J., Condie, K. C (1989) Geochemistry and provenance of sediments from the Pongola Supergroup, South Africa: evidence for a 3.0-Ga-old continental craton. *Geochimica et Cosmochimica Acta*, 53: 1537-1549.
- Wignall, P. B., Myers, K. J (1988) Interpreting the benthic oxygen levels in mudrocks, a new approach. *Geology*, 16: 452-455.